

## **EVALUASI STRUKTUR BAWAH PADA PEMBANGUNAN GEDUNG PENDIDIKAN IAIN PADANGSIDEMPUAN**

Oleh :

Indriani Agustina <sup>1)</sup>

Benny Anton Gultom <sup>2)</sup>

M. Endayanti <sup>3)</sup>

R. Ginting <sup>4)</sup>

Universitas Darma Agung, Medan

Email :

[1808indriani@gmail.com](mailto:1808indriani@gmail.com) <sup>1)</sup>

[bens\\_park@yahoo.co.id](mailto:bens_park@yahoo.co.id) <sup>2)</sup>

[endayanti22@gmail.com](mailto:endayanti22@gmail.com) <sup>3)</sup>

[rahalex77@gmail.com](mailto:rahalex77@gmail.com) <sup>4)</sup>

### **History Jurnal Ilmiah Teknik Sipil:**

Received : 25 Maret 2022

Revised : 10 Mei 2022

Accepted : 23 Juli 2022

Published : 20 Agustus 2022

**Publisher:** LPPM Universitas Darma Agung

**Licensed:** This work is licensed under

<http://creativecommons.org/licenses/by-nd/4.0>



### **ABSTRACT**

*The construction is the part of a building that is in direct contact with the ground below. The function of this component is not only to distribute the vertical and force load which is generated by the building itself, furthermore also to give horizontal support in case of an earthquake. In the study case of the foundation for the IAIN Padangsidempuan education building the building uses a foundation in multiple piles with a depth of 18m, a diameter of 0.5m. Therefore it's necessary to make calculations to ensure whether the initial planning data meets the feasibility in accordance with applicable standards. From the results of the calculations carried out, it turns out that there is a difference in the value of the carrying capacity of the foundation and the carrying capacity of the pile foundation between the initial planning and the calculation results, but it does not affect the quality of the foundation, because the occurring load is still not bigger than standart ,a failure of the foundation is therefore unlikely.*

**Keyword :** Foundation, Bore Pile, IAIN Padangsidempuan education building

### **ABSTRAK**

Pondasi merupakan suatu jenis konstruksi yang menjadi dasar suatu bangunan yang berhubungan langsung dengan tanah yang berfungsi sebagai penopang bangunan yang ada diatasnya, bertujuan untuk mentransfer beban secara vertikal dan horizontal yang bertahap dan merata ke lapisan tanah. Pembangunan gedung pendidikan IAIN Padangsidempuan menggunakan pondasi dalam yaitu tiang pancang dengan kedalaman 18m, diameter 0,5m. Sehingga perlu dilakukan perhitungan guna memastikan apakah data perencanaan awal sudah memenuhi kelayakan sesuai dengan standar yang berlaku. Dari hasil perhitungan yang dilakukan ternyata terdapat perbedaan nilai daya dukung pondasi dan daya dukung kelompok tiang antara perencanaan awal dengan hasil perhitungan, akan tetapi tidak mempengaruhi kualitas

pondasi tersebut dikarenakan perbedaan nilai tersebut tidak terlalu jauh dan masih dalam tahap aman.

## 1. PENDAHULUAN

Proyek Gedung IAIN Padangsiderman Sumatera Utara mulai dibangun pada 06 januari 2022 sampai 30 Oktober 2022. Gedung ini diperuntukkan untuk ruang kuliah dengan kapasitas 5 lantai. Menggunakan pondasi tiang pancang dengan kedalaman 18 meter diameter 0.5 meter. Pondasi adalah konstruksi yang menjadi dasar suatu bangunan yang berhubungan langsung dengan tanah. Berfungsi sebagai penopang bangunan yang ada diatasnya, bertujuan untuk mentransfer beban secara vertikal dan horizontal yang bertahap dan merata ke lapisan tanah.

Secara umum pondasi dapat dibagi dalam dua jenis, yaitu pondasi dangkal dan pondasi dalam. Pemilihan jenis pondasi ini dilihat dari beban yang akan dipikul yang berasal dari struktur atas, yaitu beban ringan atau beban berat dan juga dilihat dari jenis tanahnya. Pondasi dalam yang sering digunakan untuk suatu konstruksi adalah pondasi tiang pancang dan pondasi bore pile. Kedua pondasi ini memiliki keunggulanya masing-masing yang dapat disesuaikan dengan kebutuhan didalam perencanaan dan pelaksanaan suatu konstruksi. Hal yang dibahas pada permasalahan ini adalah daya dukung pondasi tiang tunggal menggunakan data SPT dengan metode *mayerhoff*, efisiensi kelompok tiang dengan metode *Converse-labarre*, dan perhitungan beban-beban untuk menjadi kontrol terhadap daya dukung tanah dan pondasi.

## TINJAUAN PUSTAKA

Struktur merupakan bangunan tubuh untuk mendukung beban atau menyalurkan beban yang diakibatkan

bangunan diatas tanah yang bekerja tanpa disertai deformasi yang berlebihan. Semua struktur dirancang untuk berfungsi sebagai kesatuan secara utuh dalam memikul beban, baik yang beraksi secara vertical maupun secara horizontal ketanah. Dalam perencanaan pondasi untuk suatu struktur dapat digunakan beberapa tipe macam pondasi. Pemilihan pondasi berdasarkan fungsi bangunan tersebut didirikan dan berdasarkan tinjauan dari segi ekonomi.

Berikut adalah beberapa pengertian dan definisi struktur dan pondasi dari beberapa sumber buku:

- a) Menurut silalahi (2009:1) "struktur merupakan suatu bangun tubuh yang dirancang untuk mampu menopang dan mendukung beban (muatan) yang bekerja tanpa disertai deformasi berlebihan berupa perpindahan relative suatu komponen terhadap komponen lainnya".
- b) Menurut Schodek (2009:2) "struktur merupakan sarana untuk menyalukan beban yang diakibatkan penggunaan dan atau kehadiran bangunan diatas tanah".
- c) Menurut Hardiyatmo (2002), pondasi merupakan suatu bagian konstruksi bangunan bawah (sub struktur) yang bertugas meletakkan bangunan dan meneruskan beban bangunan diatasnya kedasar tanah atau batuan yang cukup kuat mendukungnya.

## METODE PENELITIAN

Dalam pengerjaan penelitian ini, alur yang dilakukan sebagai berikut :

1. Studi Literatur
2. Pengumpulan data
3. Perhitungan daya dukung tiang tunggal
4. Perhitungan efisiensi tiang
5. Perhitungan daya dukung kelompok tiang
6. Perhitungan beban yaitu Analisa stabilitas pile cap dan analisa stabilitas daya dukung
7. Kesimpulan dan saran

## HASIL DAN PEMBAHASAN

### Perhitungan Kapasitas Daya Dukung Tiang Tunggal dari Data SPT

Rumus-rumus yang digunakan untuk menghitung kapasitas daya dukung

tiang tunggal berdasarkan jenis tanah dengan diameter tiang 0,5 m :

1. Luas Tiang ( $A_p$ ) =  $\frac{1}{4} \times \pi \times d^2$
2. Keliling Tiang ( $K_p$ ) =  $\pi \times d$
3.  $C_u = N \cdot SPT \cdot 2/3 \cdot 10$
4.  $Q_p = 9 \cdot C_u \cdot A_p$  (tanah kohesif)
5.  $Q_p = 40 \cdot N_k \cdot A_p$  (tanah non-kohesif)
6.  $Q_s = \alpha \cdot C_u \cdot K_p \cdot L_i$  (tanah kohesif)
7.  $Q_s = 0,2 \cdot N_k \cdot A_k \cdot L_i$  (tanah non-kohesif)
8.  $Q_{ult} = Q_p + Q_s$
9.  $Q_{ijin} = \frac{Q_p}{3} + \frac{Q_s}{5}$
10.  $E_g = 1 - \theta \frac{(n-1) \times m + (m-1) \times n}{90 \times m \times n}$

Untuk perhitungan daya dukung tiang tunggal dapat dilihat pada tabel.

Tabel 4.2 Perhitungan Daya Dukung Tiang Tunggal

| Kedalaman (m) | Asumsi              | $A_p$ ( $m^2$ ) | $K_p$ (m) | $L_i$ (m) | $N_r$ | $N_k$ | $Q_p$ (ton) | $Q_s$ (ton) | $Q_{ult}$ (ton) | $Q_{ijin}$ (ton) | $E_g$ |
|---------------|---------------------|-----------------|-----------|-----------|-------|-------|-------------|-------------|-----------------|------------------|-------|
| 3             | Lempung (Kohesif)   | 0,196           | 1,571     | 3         | 5     | 5,00  | 5,890       | 10,30432    | 16,195          | 4,02             | 0,656 |
| 4             |                     |                 |           |           |       |       |             |             |                 |                  |       |
| 5,2           |                     |                 |           |           |       |       |             |             |                 |                  |       |
| 6             | Pasir (Non-Kohesif) | 0,196           | 1,571     | 3         | 7     | 7,00  | 54,978      | 6,597345    | 61,575          | 19,65            | 0,656 |
| 7             |                     |                 |           |           |       |       |             |             |                 |                  |       |
| 8             |                     |                 |           |           |       |       |             |             |                 |                  |       |
| 9             |                     | 0,196           | 1,571     | 3         | 10    | 10,00 | 78,540      | 9,424778    | 87,965          | 28,06            | 0,656 |
| 10,7          |                     |                 |           |           |       |       |             |             |                 |                  |       |
| 11            |                     |                 |           |           |       |       |             |             |                 |                  |       |
| 12            | Pasir (Non-Kohesif) | 0,196           | 1,571     | 3         | 38    | 38,00 | 298,451     | 35,81416    | 334,265         | 106,65           | 0,656 |
| 13            |                     |                 |           |           |       |       |             |             |                 |                  |       |
| 14            | Pasir (Non-Kohesif) |                 |           |           |       |       |             |             |                 |                  |       |
| 15            |                     | 0,196           | 1,571     | 3         | 30    | 30,00 | 235,619     | 28,27433    | 263,894         | 84,19            | 0,656 |
| 16,8          |                     |                 |           |           |       |       |             |             |                 |                  |       |

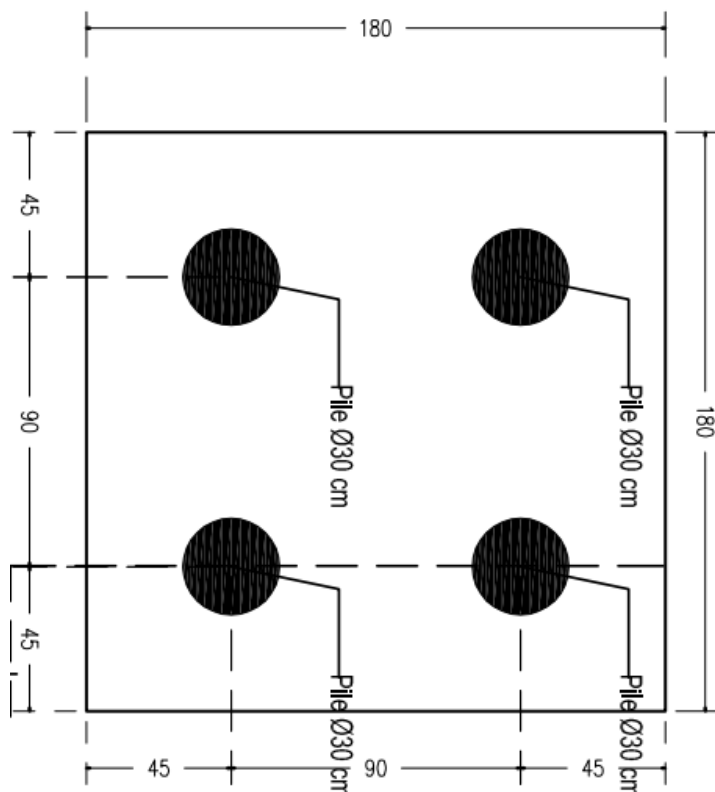
|    |           |           |   |           |           |             |              |             |              |           |
|----|-----------|-----------|---|-----------|-----------|-------------|--------------|-------------|--------------|-----------|
| 17 |           |           |   |           |           |             |              |             |              |           |
| 18 | 0,1<br>96 | 1,5<br>71 | 3 | 60,<br>00 | 60,<br>00 | 470,4       | 56,556       | 526,9<br>56 | 168,11<br>12 | 0,6<br>56 |
| 19 |           |           |   |           |           |             |              |             |              |           |
| 20 |           |           |   |           |           |             |              |             |              |           |
| 21 | 0,1<br>96 | 1,5<br>71 | 3 | 62        | 62,<br>00 | 486,9<br>47 | 58,433<br>62 | 545,3<br>80 | 174,00       | 0,6<br>56 |
| 22 |           |           |   |           |           |             |              |             |              |           |
| 23 |           |           |   |           |           |             |              |             |              |           |
| 24 | 0,1<br>96 | 1,5<br>71 | 3 | 65        | 65,<br>00 | 510,5<br>09 | 61,261<br>06 | 571,7<br>70 | 182,42       | 0,6<br>56 |

### Perhitungan Efisiensi kelompok Tiang

Rumus yang digunakan untuk menghitung efisiensi kelompok tiang :

$$Eg = 1 - \theta \frac{(n-1) \times m + (m-1) \times n}{90 \times m \times n}$$

Dengan tipe pondasi grup tiang seperti pada gambar dibawah ini.



Gambar 4.2 Lay Out 4 Pile

### Perencanaan Daya Dukung Kelompok Tiang

Rumus yang digunakan dalam menghitung daya dukung kelompok tiang :

$$Qg = Eg \cdot n \cdot Qi$$

Untuk perhitungan daya dukung kelompok tiang dapat diliat pada tabel berikut :

| Kedalama<br>n (m) | Asumsi | Qp<br>(ton) | Qs (ton) | Qult<br>(ton) | Qijin<br>(ton) | Metode Converse –<br>Labarre |
|-------------------|--------|-------------|----------|---------------|----------------|------------------------------|
|-------------------|--------|-------------|----------|---------------|----------------|------------------------------|

|      |                     |         |          |         |          | Qg 4 Pile (ton) |
|------|---------------------|---------|----------|---------|----------|-----------------|
|      |                     |         |          |         | Eg       | Qg 4 Pile (Ton) |
| 3    | Lempung (Kohesif)   | 5,890   | 10,30432 | 16,195  | 4,02     | 0,656           |
| 4    |                     |         |          |         |          |                 |
| 5,2  |                     |         |          |         |          |                 |
| 6    | Pasir (Non-Kohesif) | 54,978  | 6,597345 | 61,575  | 19,65    | 0,656           |
| 7    |                     |         |          |         |          |                 |
| 8    |                     |         |          |         |          |                 |
| 9    |                     | 78,540  | 9,424778 | 87,965  | 28,06    | 0,656           |
| 10,7 |                     |         |          |         |          |                 |
| 11   | Pasir (Non-Kohesif) |         |          |         |          |                 |
| 12   |                     | 298,451 | 35,81416 | 334,265 | 106,65   | 0,656           |
| 13   |                     |         |          |         |          |                 |
| 14   | Pasir (Non-Kohesif) |         |          |         |          |                 |
| 15   |                     | 235,619 | 28,27433 | 263,894 | 84,19    | 0,656           |
| 16,8 |                     |         |          |         |          |                 |
| 17   | Pasir (Non-Kohesif) |         |          |         |          |                 |
| 18   |                     | 470,400 | 56,556   | 526,956 | 168,1112 | 0,656           |
| 19   |                     |         |          |         |          |                 |
| 20   |                     |         |          |         |          |                 |
| 21   |                     | 486,947 | 58,43362 | 545,380 | 174,00   | 0,656           |
| 22   |                     |         |          |         |          |                 |
| 23   |                     |         |          |         |          |                 |
| 24   |                     | 510,509 | 61,26106 | 571,770 | 182,42   | 0,656           |
|      |                     |         |          |         |          | 478,675         |

### Analisis Pembebatan

Pembebatan meliputi beban-beban yang bekerja pada struktur dan perhitungan daya dukung tiang. Beban-beban yang diperhitungkan adalah akibat beban mati, beban hidup, dan beban gempa. Analisis ini dilakukan dengan bantuan program ETABS V.18. Dari hasil analisis menggunakan program ETABS diperoleh gaya normal

pada kolom, dan besaran inilah yang akan dianggap sebagai beban yang akan dipikul oleh pondasi. Daya dukung tiang dihitung dengan menggunakan data hasil *Standart Penetration Test (SPT)*. Yaitu jumlah pukulan (*N-value*), hasil pengujian pada beton yang digunakan, dan perhitungan daya dukung tiang kelompok berdasarkan efisiensi.

Tabel 4.4 Reaksi terjadi

Gambar 4.3 Reaksi dan Momen

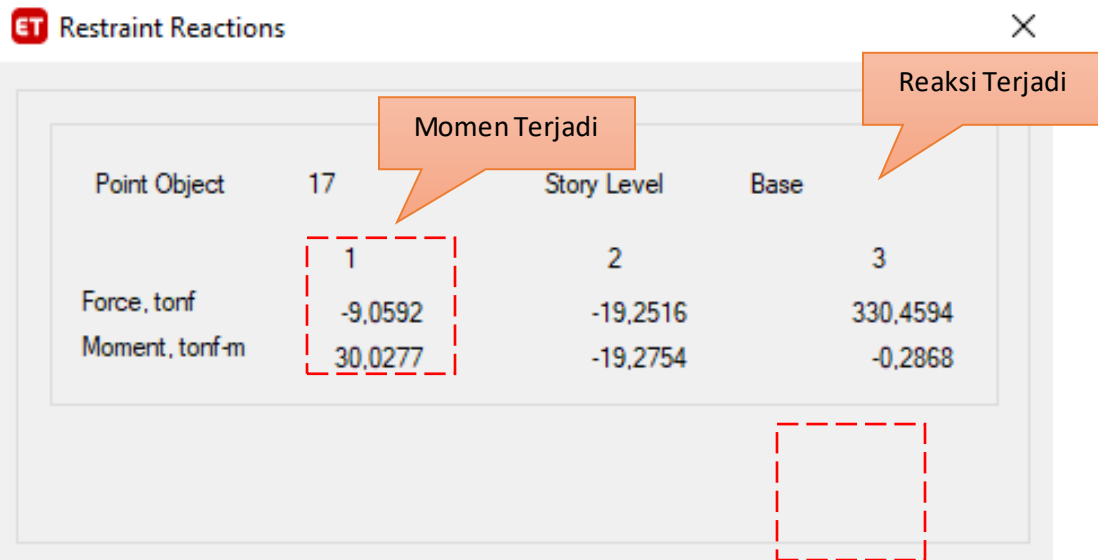
### KESIMPULAN

Dari perhitungan yang dilakukan diperoleh kesimpulan sebagai berikut :

$$Q_i = 168,1112 \text{ Ton (Tiang Tunggal)}$$

$$Q_g = 441,1240 \text{ Ton (Group Tiang)}$$

Standar Nasional Indonesia.



Sedangkan dari hasil perencanaan awal

Badan Standarisasi Nasional, 2012. Tata

TABLE: Joint Reactions

| Story | Label | Unique Name | Output Case | Case Type   | Step Type | RHX        | RHY         | RV           | MX          |
|-------|-------|-------------|-------------|-------------|-----------|------------|-------------|--------------|-------------|
|       |       |             |             |             |           | tonf       | tonf        | tonf         | tonf-m      |
| Base  | 17    | 241         | Comb MAX    | Combination | Max       | 8,649<br>2 | 7,915<br>2  | 330,459<br>4 | 30,027<br>7 |
| Base  | 17    | 241         | Comb MAX    | Combination | Min       | 9,059<br>2 | 19,251<br>6 | 141,760<br>9 | 23,156<br>2 |

adalah :

$$Q_i = 157,8400 \text{ Ton (Tiang Tunggal)}$$

$$Q_g = 414,1720 \text{ Ton (Group Tiang)}$$

Syarat :

$$Q_g \geq P_u$$

$$441,124 \text{ Ton} > 330,4594 \text{ Ton}$$

Dari hasil analisis yang telah dilakukan didapat  $Q_g$  mampu menahan  $P_u$

### DAFTAR PUSTAKA

Badan Standarisasi Nasional, 2013 .  
*Tata cara perencanaan Struktur Beton Bertulang untuk bangunan Gedung SNI 2847 :2013, Jakarta : Sta*

cara perencanaan Ketahanan Gempa untuk struktur Bangunan Gedung dan Non Gedung, SNI 1726 : 2012. Jakarta : Standar Nasional Indonesia.

Badan Standarisasi Nasional, 2013. *Beban Minimum Untuk Percanggangan Bangunan Gedung dan Struktur lain, SNI 1727 : 2013, Jakarta : Standar Nasional Indonesia.*

Anugrah Pamungkas dan erny Harianti. *Struktur Beton Bertulang Tahan Gempa*